

# 苯并[a]芘对赤子爱胜蚓线粒体编码基因表达影响研究

郑森林<sup>1,2,3\*</sup>, 宋玉芳<sup>1\*</sup>, 邱晓燕<sup>4</sup>, 孙铁珩<sup>1</sup>, 张薇<sup>1,2</sup>, M. L. Ackland<sup>5</sup>

(1. 中国科学院沈阳应用生态研究所, 沈阳 110016; 2. 中国科学院研究生院, 北京 100049; 3. 国家海洋局第三海洋研究所, 厦门 361005; 4. 集美大学生物工程学院, 厦门 361021; 5. Deakin University, Melbourne, 3125, Australia)

**摘要:** 根据 ISO 11268-1:1993 方法, 完成了土壤中苯并[a]芘对赤子爱胜蚓(*Eisenia fetida*)的人工污染模拟实验。并采用 Clontech PCR-Select™ cDNA Subtraction Kit 构建了污染组和对照组蚯蚓之间的抑制消减文库。经测序和比对分析, 在苯并[a]芘诱导上调文库中发现 5 个线粒体 DNA(mtDNA)编码的基因, 且在上调文库中具有较高的频率。它们分别为: 细胞色素 c 氧化酶亚基 I、II、III, NADH 氢脱氢酶亚基 1, ATP 合成酶亚基。研究表明, 土壤中苯并[a]芘污染改变了蚯蚓线粒体基因组的表达水平, 线粒体基因组表达异常是多环芳烃污染胁迫的重要分子生物标记物。

**关键词:** 土壤污染; 苯并[a]芘; 赤子爱胜蚓; 线粒体编码基因; 抑制消减杂交

中图分类号: X131; X174 文献标识码: A 文章编号: 0250-3301(2008)02-0391-07

## Impact of Benzo[a]pyrene on the Expression of Mitochondrion-encoded Genes in the Earthworm *Eisenia fetida*

ZHENG Sen-lin<sup>1,2,3</sup>, SONG Yu-fang<sup>1</sup>, QIU Xiao-yan<sup>4</sup>, SUN Tie-heng<sup>1</sup>, ZHANG Wei<sup>1,2</sup>, M. L. Ackland<sup>5</sup>

(1. Institute of Applied Ecology, Chinese Academy of Sciences, Shenyang 110016, China; 2. Graduate University of Chinese Academy of Sciences, Beijing 100049, China; 3. Third Institute of Oceanography, State Oceanic Administration, Xiamen 361005, China; 4. School of Bioengineering, Jimei University, Xiamen 361021, China; 5. Deakin University, Melbourne, 3125, Australia)

**Abstract:** The earthworm *Eisenia fetida*'s benzo[a]pyrene (BaP) exposure experiments were carried out in artificial soil according to ISO 11268-1:1993. And then the upregulated and downregulated subtractive cDNA libraries were constructed by Clontech PCR-Select™ cDNA Subtraction Kit. From the BaP exposure upregulated subtractive cDNA library, several cDNA segments matched mitochondrion-encoded genes were found, including cytochrome c oxidase subunit I (CO I), subunit II (CO II), subunit III (CO III), NADH dehydrogenase subunit 1 (NDH1), and ATP synthase subunit 6. The result indicated BaP and the subsequent oxidative stress disturbed the expression of mitochondrion-encoded genes, and this was potential biomarker for oxidative stress following xenobiotic exposure.

**Key words:** soil pollution; benzo(a)pyrene (BaP); earthworm *Eisenia fetida*; mitochondrion-encoded genes; suppression subtractive hybridization (SSH)

多环芳烃是一类环境中重要的持久性有机污染物, 也是一类重要的环境激素。其中苯并[a]芘等已被确认具有致癌性<sup>[1]</sup>。多环芳烃广泛存在于各种环境介质, 如空气、水体、沉积物、土壤以及食品和动植物中。在环境中难于降解, 并可通过食物链在生物体内传递和富集, 对人体健康和生态环境造成严重威胁。土壤中的多环芳烃污染主要来源于工业生产及废物的排放, 在污灌土壤中常有较高的蓄积<sup>[2]</sup>。蚯蚓是陆地生态系统中重要的分解者, 常被作为污染土壤生态的监测物种<sup>[3]</sup>。有研究表明, 急性毒性实验的生物检测指标有益于高污染土壤的监测。然而, 现实中多数土壤中污染物的含量远未达到致死水平, 所以急性毒性指标对此无能为力。建立新的, 更敏感的生态毒理指标和方法, 进行环境亚致死含量污染物的生态毒性效应及危害的诊断十分必要<sup>[4]</sup>。然而, 由于种种技术方面限制等原因, 目前这方面的研究报道甚少。

为此, 本研究参照国际标准组织(ISO 11268-1:1993)方法指南<sup>[5]</sup>, 进行了蚯蚓人工土壤污染实验和 cDNA 抑制消减双杂交实验, 构建蚯蚓在土壤低剂量环境浓度苯并[a]芘污染暴露条件下的抑制消减文库, 并进行 DNA 测序和比对分析。本研究试图通过消减文库分析苯并[a]芘胁迫对蚯蚓线粒体编码基因表达的影响, 发现新的分子生物标记物, 以期为土壤亚致死浓度多环芳烃污染诊断提供敏感的生

收稿日期: 2007-02-27; 修订日期: 2007-04-02

基金项目: 国家重点基础研究发展计划(973)项目(2004CB418503); 国家自然科学基金项目(20577056, 20337010)

作者简介: 郑森林(1975~), 男, 博士研究生, 主要研究方向为污染生态学, E-mail: zhengsenlin@yahoo.com.cn

\* 通讯联系人, E-mail: songyufang@iae.ac.cn

态毒理诊断方法.

## 1 材料与方法

### 1.1 药品与溶液配制

苯并[a]芘为分析纯.购自 Fluka 公司(瑞士);RNAiso 试剂、NucleoTrap<sup>®</sup> mRNA Purification Kit、Clontech PCR-Select<sup>TM</sup> cDNA Subtraction Kit 和 BD Advanced cDNA PCR Kit 试剂盒均购自大连 Takara 公司;氨苄青霉素等试剂购于上海华美生物工程有限公司.乙腈,丙酮,正己烷和二氯甲烷,色谱纯,Merck 公司产品.纯净水产自 Milli-Q 系统.硅胶(70~230 目)Sigma 公司产品.苯并[a]芘标样,购自 Merck-Schuchardt 公司.

### 1.2 仪器设备

THERMO PCRPress PCR 仪(THERMO 公司,美国);ABI 377 DNA 测序仪(ABI 公司,美国).1090II-HPLC 液相色谱仪(Hewlett Packard 公司,美国).

### 1.3 试验蚯蚓

蚯蚓赤子爱胜(*Eisenia fetida*)购自天津蚯蚓养殖中心.选用 2~3 月龄,体重 400~500 mg,带有环带的健康蚯蚓为供试品.

### 1.4 蚯蚓人工土壤污染实验

根据国际标准组织方法指南(ISO 11268-1:1993)<sup>[5]</sup>,配制人工土壤.将 500 g(干重)人工土壤装入食品塑料盒后,将一定量的苯并[a]芘乙醇液均匀的投加到供试土壤中,使土壤中苯并[a]芘的浓度为 1 mg/kg.同时做溶剂空白对照.将其至于通风橱中 48 h 直至溶剂挥发至干后,分别取一定量空白对照和处理土壤用于苯并[a]芘提取测定.其余土壤中加入一定量的水使土壤湿度达到最大持水量的 75%.然后,将事先选好,体重在 400~500 mg 的成年赤子爱胜蚯 10 条放至盒中,同时投入 5 g 牛粪作为饵料,将培养盒放置在光照控温培养箱(SPX-250-BG),20°C ± 1°C 培养,培养箱的光照设置为:光照:黑暗 = 12 h:12 h.通过定期称重加水保持湿度.试验周期为 4 周,每个处理 4 个重复.试验结束后,将蚯蚓取出放置在湿润的滤纸上清肠吐出内容物,然后将蚯蚓洗净、拭干,放入液氮中保存待用.

### 1.5 抑制消减文库的构建

从 B[a]P 污染组和溶剂对照组中挑取数条体重相近的个体蚯蚓,采用液氮研磨法将其分别研磨成粉末,再用 RNAiso 试剂(Takara 公司)进行整条蚯蚓总 RNA 提取;在 1.5% 的琼脂糖凝胶电泳检测 RNA 提取的完整性后,用 NucleoTrap<sup>®</sup> mRNA

Purification Kit 纯化试剂盒提取纯化 mRNA.采用 Clontech PCR-Select<sup>TM</sup> cDNA Subtraction Kit 试剂盒构建 B[a]P 污染组和溶剂对照组的上调和下调抑制消减文库.并用 BD Advanced cDNA PCR Kit 试剂盒通过 2 次 PCR 扩增,将差异表达的基因片段富积扩增.将差异表达的基因片段连接到 PMD18-T 载体,转化 DH5 $\alpha$  感受态细胞后,添加一定量的 80  $\mu$ g/mL 氨苄青霉素 LB 固体培养基培养过夜,至转化的白色菌落长出,将培养基转至 4°C 条件保存待用.

### 1.6 基因测序与比对

逐个挑取上述转化菌落至 LB 液体培养基,于 37°C 摆床分别培养过夜.以 Clontech PCR-Select<sup>TM</sup> cDNA Subtraction Kit 试剂盒中的 Nested PCR Primer1 和 Nested PCR Primer2R 为引物,进行菌液 PCR.于 1.0% 琼脂糖电泳检测插入 cDNA 片段.将插入片段不小于 100 bp 且 PCR 产物单一的菌液进行测序检测(基因测序由上海英骏生物技术有限公司采用 ABI 377 测序仪及配套的 BigDye Terminator 试剂盒完成),并将获得序列与 NCBI 网站的基因数据库进行比对分析.

### 1.7 土壤中苯并[a]芘的提取与测定

称取 5 g 风干土壤(<1 mm)于离心管,加入 25 mL 二氯甲烷超声提取 2 h.提取液于离心机以 2 500 r/min 离心 5 min,收集上清液于旋转浓缩仪浓缩至 1 mL.将浓缩液转移到装有 1 g 硅胶的玻璃预柱中,以 1:1 的二氯甲烷:正己烷为淋洗液,接收淋洗液 2 mL.用氮气吹脱至干,乙腈定容至 1 mL,于高效液相色谱仪分析检测苯并[a]芘.实验设 3 个重复.

20  $\mu$ L 提取液经自动进样器注入 RP-C<sub>18</sub> (250 × 4.6 m, I. D. 5  $\mu$ m Octadecylsilane) 反相柱中,85% 乙腈/水为流动相,双通道液相色谱泵以 1.0 mL/min 流速淋洗 30 min, 荧光检测仪检测.根据苯并[a]芘最大激发和发射波长(290~430 nm)下的峰面积,数据处理系统根据保留时间对苯并[a]芘定性、定量分析,必要时以二级阵列检测器辅助定性分析.

## 2 结果与讨论

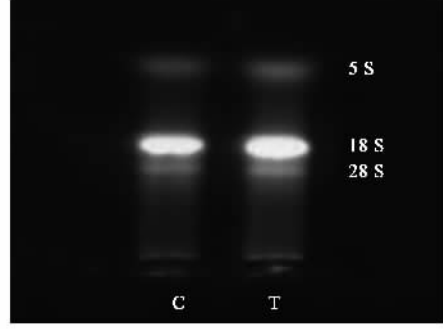
### 2.1 土壤中苯并[a]芘的含量

实验测得处理组土壤中 B[a]P 的含量为 0.71~0.78 mg/kg, 平均值 0.74 mg/kg. 比实际投加量减少 0.22~0.29 mg/kg, 平均值 0.26 mg/kg. 这可能由于 B[a]P 被土壤所吸附为不可提取残渣所致.此外,在样品经溶剂挥发的过程中,也可能造成一小部分 B[a]P 的丢失.这一结果与先前的实验及报道的

结果基本一致<sup>[6]</sup>. 对照样品中 B[a]P 未检出.

## 2.2 抑制消减文库的构建

RNA 易被降解, 完整的 RNA 是 SSH 实验成功前提. 从图 1 的 RNA 电泳检测结果可见, 蚯蚓处理组和对照组的 5S、18S 和 28S rRNA 条带清晰, 说明所提取的 RNA 完整性良好. 蚯蚓 rRNA 的 18S rRNA 的量明显多于 28S rRNA 的量, 这也是蚯蚓 RNA 与其他物种 RNA 的显著差别.



C 为对照组, T 为 B[a]P 污染组

图 1 总 RNA 提取电泳检测

Fig.1 Electrophoresis image of total RNA in earthworms exposed to B[a]P and control

经过 cDNA 第一链合成、cDNA 第二链合成、*Rsa* I 酶切、接头连接与检测、双杂交、双 PCR 等步骤后, 获得上调组(Up)和下调组(Down) cDNA(图 2). 由图 2 可见, 获得的 cDNA 其分子量集中分布于 250 ~ 2 000 bp 之间. 双 PCR 产物经 TaKaRa DNA Fragment Purification Kit 纯化后, 去除了其中的蛋白质以及小于 100 bp 的 DNA 片段. 采用 pMD18-T vector kit 将差异表达的 DNA 片段连接到载体中并转化 DH5 $\alpha$  感受态细胞, 上调组和下调组均获得 2 000 多个转化菌落.

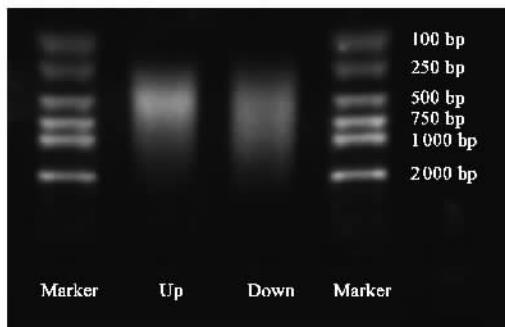


图 2 抑制消减双杂交后双 PCR 的上调组和下调组 cDNA 电泳检测

Fig.2 Electrophoresis image of Nested PCR products following SSH

## 2.3 粒体编码基因片段的比对

### 2.3.1 细胞色素 c 氧化酶亚基 I

核酸序列比对(Blastn)结果表明(图 3), 上调文库中获得 3 个基因片段与蚯蚓(*Lumbricus terrestris*)线粒体编码的细胞色素 c 氧化酶亚基 I(CO I)核酸序列相匹配, 其长度分别为 339、198 和 410bp, 且可拼接成为 947 bp 的序列<sup>[7]</sup>. 拼接位点的碱基均为 GT|AC, 与 Clontech PCR-SelectTM cDNA Subtraction Kit 试剂盒中 *Rsa* I 内切酶的酶切位点相吻合. 将 3 个基因片段与蛋白质基因数据库比对(BLASTX)(RID = 1171535922-565-197640580089. BLASTQ2), 由图 3 可见, 这 3 个基因片段为赤子爱胜蚓编码 CO I 的线粒体基因序列. 此外, 将上述核酸序列与 Blastn NCBI 的 EST 数据库(RID = 1171528506-18459-100863188237. BLASTQ2)比对, 结果发现该基因片段与蚯蚓(*Lumbricus rubellus*)在镉、铜和阿特拉津(Atrazine)污染胁迫差异表达的基因相匹配, 可见 CO I 基因对多种污染物的胁迫均有响应. 另一方面, 在上调文库 2 000 多个克隆中随机挑取并测序的 312 个克隆中, CO I 基因的重复率高达 32 次, 可见其上调表达丰度在总差异表达 cDNA 中占有比率很高.

### 2.3.2 细胞色素 c 氧化酶亚基 II

上调文库中另获得 3 个基因片段与蚯蚓(*Lumbricus terrestris*)线粒体编码的细胞色素 c 氧化酶亚基 II(COX II)核酸序列同源, 其长度分别为 310、166 和 212 bp, 且这 3 个基因片段可以拼接起来成为 688 bp 的序列, 其拼接处的碱基均为 CTAC, 与 *Rsa* I 内切酶的酶切位点相吻合(图 4). 将 3 个基因片段与蚯蚓(*Lumbricus terrestris*)细胞色素 c 氧化酶亚基 II 氨基酸序列比对(RID: 1171531118-7721-20656985954. BLASTQ3), 如图 4 所示, 这 3 个基因片段为赤子爱胜蚓中编码 CO II 的线粒体基因序列. 同样, 将这个 CO II 基因片段与 NCBI 的 EST 数据库比对(RID = 1171531647-28518-139119528566. BLASTQ2), 结果发现, 该序列在与蚯蚓(*Lumbricus rubellus*)在镉、铜和阿特拉津(Atrazine)污染胁迫差异表达的基因相匹配, CO II 基因对苯并[a]芘污染胁迫也有响应. 在随机测序的 312 个上调克隆中, CO II 基因出现了 15 次, 可见 CO II 上调表达丰度在总差异表达 cDNA 中占有很高的比率.

### 2.3.3 细胞色素 c 氧化酶亚基 III

将上调文库中获得的长度为 175bp 基因片段与 NCBI 蛋白质数据库进行比对(RID = 1171533705-28431-107546357961. BLASTQ3), 结果表明(图 5), 该序列与蚯蚓(*Lumbricus terrestris*)线粒体编码的细胞

与gi 5835192 ref NP_008238.1  cytochrome c oxidase subunit I [ <i>Lumbricus terrestris</i> ]Length = 513的比对结果, Score = 582 bits(1499), Expect=1e-164, Identities = 306/314 (97%), Positives = 308/314 (98%), Gaps = 0/314 (0%), Frame = +2	
Query 2 LAGAITMLLTDRNLNTSFFDPAGGGDPILYQHQLFWFGHPEVYILILPGFGAISHIVSHY 181	
LAGAITMLLTDRNLNTSFFDPAGGGDPILYQHQLFWFGHPEVYILILPGFGAISHIVSHY	
Sbjct 199 LAGAITMLLTDRNLNTSFFDPAGGGDPILYQHQLFWFGHPEVYILILPGFGAISHIVSHY 258	
Query 182 TAKLEPFAGLGMIYAMLGIAVLGFIVWAHHMFTVGLDVDTRAYFTAATMIIAVPTGIKVF 361	
TAKLEPFAGLGMIYAMLGIAVLGFIVWAHHMFTVGLDVDTRAYFTA TMIIAVPTGIKVF	
Sbjct 259 TAKLEPFAGLGMIYAMLGIAVLGFIVWAHHMFTVGLDVDTRAYFTAATMIIAVPTGIKVF 318	
Query 362 SWLATLHGSKIKYETPIWLALGFIFLFTGGLTGiilsnssldii1HDHTYYVVAHFHYVL 541	
SWLAT+HGSKIKYETP+LWALGFIFLFTGGLTGiILSNSSLDIILHDHTYYVVAHFHYVL	
Sbjct 319 SWLATIHGSKIKYETPVLWLALGFIFLFTGGLTGiILSNSSLDIILHDHTYYVVAHFHYVL 378	
Query 542 SMGAVFAIFAAFTHWFPLLTGLTLHQRWANAQFFLMFLGVNITFFPQHFLGLSGMPRRYS 721	
SMGAVFAIFAAFTHWFPLLTGLTLH RWANAQFFLMFLGVN TFFPQHFLGLSGMPRRYS	
Sbjct 379 SMGAVFAIFAAFTHWFPLLTGLTLHHRWANAQFFLMFLGVNITFFPQHFLGLSGMPRRYS 438	
Query 722 DYPDAFMKWNVvssfgs11sfvALMLFIFILWEAFASQRSVISSPHMPSALEWSDSLPL 901	
DYPDAFMKWNVVSSFGSLLSFVALMLFIFILWEAFASQRSVISSPHM SALEWSD LPL	
Sbjct 439 DYPDAFMKWNVSSFGSLLSFVALMLFIFILWEAFASQRSVISSPHMSSALEWSDPILPL 498	
Query 902 DFHNLSETGIITYP 943	
DFHNLSETGIITYP	
Sbjct 499 DFHNLSETGIITYP 512	

图 3 上调文库中 3 个基因片段拼合(上行)与同科蚯蚓(*Lumbricus terrestris*)细胞色素 c 氧化酶亚基 I 氨基酸序列(下行)比对结果

Fig.3 Blastx result of a cDNA segment from *Eisenia fetida* Bap upregulated library (upper line) and *Lumbricus terrestris* cytochrome c oxidase subunit I (lower line)

与gi 984292 gb AAC46865.1  cytochrome oxidase subunit II [ <i>Lumbricus terrestris</i> ]Length = 228的比对结果, Score = 346 bits (888), Expect = 5e-94, Identities = 205/220 (93%), Positives = 216/220 (98%), Gaps = 0/220 (0%), Frame = +1	
Query 1 VMFQDAASSVMLQLISFHDT11v1t1v1tvvgayall1MLNSHLNRYIQEAQTVETVWT 180	
VMFQDAASSVMLQL+SFHDH LLVLT1VTVVGAYALLALMLN +NRYI EAQTVET+WT	
Sbjct 7 VMFQDAASSVMLQLVSFHDHALLVLT1VTVVGAYALLALMLNKVNRYIMEAQTVETIWT 66	
Query 181 ilpal1llvlalpslri1Y1TDEVSQPSLTVKTIGHQWYWSYEYTDFMNEMDSYMLPTT 360	
ILPAL1LLVLALPSLRILY1TDEVSQPS+TVKTIGHQWYWSYEYTDF+NVEMDSYMLPT+	
Sbjct 67 ILPAL1LLVLALPSLRILY1TDEVSQPSITVKTIGHQWYWSYEYTDFLNEMDSYMLPTS 126	
Query 361 DLMPGDYRLLEVDNRVVVPMQLEIRMLITAADV1IHSTVPAVGKVDAVPGRNLQIGFTT 540	
DL+PGDYRLLEVDNR+VVPMQLEIRMLITAADV1IHSTVPAVGKVDAVPGRNLQIGFTT	
Sbjct 127 DLLPGDYRLLEVDNRMVVPMQLEIRMLITAADV1IHSTVPAVGKVDAVPGRNLQIGFTT 186	
Query 541 SQPGIFYGQCSEICGANHSFMP1AVEAINTKSFMNWVSNF 660	
+QPG+FYGQCSEICGANHSFMP1AVEAINTKSFM+WVSNF	
Sbjct 187 TQPGVVFYGQCSEICGANHSFMP1AVEAINTKSFMWSVSNF 226	

图 4 素 c 上调文库中 3 个基因片段拼合(上行)与同科蚯蚓(*Lumbricus terrestris*)细胞色素 c 氧化酶亚基 II 氨基酸序列(下行)比对结果

Fig.4 Blastx result of a cDNA segment from *Eisenia fetida* Bap upregulated library (upper line) and *Lumbricus terrestris* cytochrome c oxidase subunit II (lower line)

色素 c 氧化酶亚基 III(*CO III*)同源, 可见该基因片段为赤子爱胜蚓编码 *CO III* 的线粒体基因序列. 同样, 将 *CO III* 基因片段与 NCBI 的 EST 数据库比对(RID = 1171534406-32088-52212135784. BLASTQ3), 未发现与蚯蚓(*Lumbricus rubellus*)在镉、铜和阿特拉津(Atrazine)污染胁迫差异表达的基因序列. 可见 *CO III* 基因表达对苯并[a]芘污染胁迫响应的特异性. 此外, 在随机测序的 312 个上调克隆中, *CO III* 基因出现 4 次, 其差异表达丰度少于 *CO I* 和 *CO II*.

### 2.3.4 NADH 脱氢酶亚基 1

上调文库中获得 1 个基因片段, 其长度为 270 bp. 与蚯蚓(*Lumbricus terrestris*)线粒体编码的 NADH 脱氢酶亚基 1(*NDH1*)同源 RID = 1171538999-3900-144767354170. BLASTQ3). 可见该序列为赤子爱胜蚓编码 *NDH1* 的线粒体基因片段. 同样, 将这个 *NDH1* 基因片段与 NCBI 的 EST 数据库比对(RID: 1171539516-13371-153447551324. BLASTQ2), 结果发现与该序列同源的蚯蚓(*Lumbricus rubellus*)在镉和阿

特拉津污染胁迫差异表达的基因序列(图 6), 可见 *NDH1* 基因表达对苯并[a]芘污染胁迫有响应. 此

外, 在随机测序的 312 个上调克隆中, *NDH1* 基因出现 2 次, 其差异表达丰度少于 *CO I* 和 *CO II*.

与 gi|984294|gb|AAC46867.1| cytochrome oxidase subunit III [*Lumbricus terrestris*] Length = 259 的比对结果, Score = 116 bits (291), Expect = 3e<sup>-25</sup>, Identities = 51/58 (87%), Positives = 54/58 (93%), Gaps = 0/58, (0%) Frame = +2

Query 2	FHLVEYSPWPLTSSMGAFTLAIGLASWFIINIIGITCLILAAFLIIIISMFQWWRDVIREG	175
	FHLVEYSPWPLTSS+GAFTLAIGLASWFHNHG CL LAAFLIII+SM QWWRDV+REG	
Sbjct 6	FHLVEYSPWPLTSSIGAFTLAIGLASWFHNHGFLCLTLAAFLIIIVSMIQWWRDVVREG	63

图 5 上调文库中 1 个基因片段与蚯蚓(*Lumbricus terrestris*)*CO III* 氨基酸序列比对结果

Fig.5 Blastx result of a cDNA segment from *Eisenia fetida* Bap upregulated library (upper line) and *Lumbricus terrestris* cytochrome c oxidase subunit III (lower line)

与 gi|984301|gb|AAC46874.1|NADH dehydrogenase subunit 1 [*Lumbricus terrestris*] Length = 308 的比对结果, Score = 170 bits(430), Expect = 2e<sup>-41</sup>, Identities = 77/89 (86%), Positives = 85/89 (95%), Gaps = 0/89 (0%), Frame = +2

Query 2	ALVAMAFYTLMERKFLGYFHLRKGPKNVGGLMGIPQPFDADA1KLFVKEQASPTPSNQLPFL	181
	AL+AMAFYTLMERKFLGYFHLRKGPKNVGGLMG+PQPFDADA1KLFVKEQA P PSNQ PFL	
Sbjct 16	ALLAMAFYTLMERKFLGYFHLRKGPKNVGGLMGLPQPFADA1KLFVKEQAKPNPSNQTPFL	75
Query 182	LAPTMGLLILAIMMWIIYPHSHQSFSYLQFS	268
	APTMGL+LA++MW+IYPHSHQSFS++QFS	
Sbjct 76	FAPTMGLVLALLMWVIYPHSHQSFFIQFS	104

图 6 上调文库中 1 个基因片段与同科蚯蚓(*Lumbricus terrestris*)NADH 脱氢酶亚基 1 序列比对结果

Fig.6 Blastx result of a cDNA segment from *Eisenia fetida* Bap upregulated library (upper line) and *Lumbricus terrestris* NADH dehydrogenase subunit 1 (lower line)

### 2.3.5 ATP 合酶亚基 6

在上调文库中发现 1 个基因片段, 长度为 212bp, 与蚯蚓(*Lumbricus terrestris*)线粒体编码的 ATP 合酶亚基 6 同源 (RID = 1171541406-25464-104088471479.BLASTQ2), 可见该序列为赤子爱胜蚓编码 ATP 合酶亚基 6 的线粒体基因片段. 同样, 将其与 NCBI 的 EST 数据库比对 (RID = 1171541790-30557-207252325373.BLASTQ2), 结果发现与该序列

同源的蚯蚓(*Lumbricus rubellus*)在镉、铜和阿特拉津污染胁迫差异表达的基因序列(图 7). 可见 ATP 合酶亚基 6 基因表达也对苯并[a]芘污染胁迫有响应. 此外, 在随机测序的 312 个上调克隆中, ATP 合酶亚基 6 基因出现 4 次, 其差异表达丰度较高.

### 2.4 B[a]P 上调文库中线粒体编码基因在线粒体基因组中的分布及功能

#### 蚯蚓 (*Lumbricus terrestris*) 线粒体 DNA 基因

与 gi|984297|gb|AAC46870.1| ATP synthase subunit 6 [*Lumbricus terrestris*] Length=231 的比对结果, Score=111 bits (277), Expect = 1e<sup>-23</sup>, Identities = 52/70 (74%), Positives = 61/70 (87%), Gaps = 0/70 (0%), Frame = +1

Query 1	IFSSFDPYMYNTLFPTNSMFLMMNTLIIILMLQSSFWLMSRISTLKSPVKDTIFTQLSRT	180
	IFSSFDPYM+N-TLFP NS+FL+ NT IIILM+QSSFW++N+R S KSPV DTIFTQLSRT	
Sbjct 5	IFSSFDPYMFNTLFPLNSLFLVTNTATTI.MTQSSFWVLNARTSAFKSPVNDDTIFTQLSRT	64
Query 181	SGLHLKGGLTS 210	
	S HLKGGL++	
Sbjct 65	STTHIJKGLST 74	

图 7 上调文库中 1 个基因片段与蚯蚓(*Lumbricus terrestris*)ATP 合酶亚基 6 的序列比对结果

Fig.7 Blastx result of a cDNA segment from *Eisenia fetida* Bap upregulated library (upper line) and *Lumbricus terrestris* ATP synthase subunit 6 (lower line)

组<sup>[4,7]</sup>编码 13 个蛋白(包括 NADH 脱氢酶亚基 1~6, NADH 脱氢酶亚基 4 L, 细胞色素 c 氧化酶亚基 I~III, 细胞色素 b, ATP 合酶亚基 6 和 ATP 合酶亚基 8), 2 个 rRNA(s- 和 L-rRNA) 以及 22 个 tRNA, 共 37 个基因, 具体结构如图 8 所示. 本试验中发现的 5 个

线粒体编码多肽基因, 在图 8 中的线粒体基因组结构中分别为 *CO I*、*CO II*、*CO III*、*A6* 和 *ND1*. 从实验结果可见, B[a]P 对各蚯蚓线粒体基因表达的影响不一致, 有些基因无上调表达, 而上调表达的 5 个基因中其上调程度不一致, 具体的表达影响程度还需

进一步地定量研究。

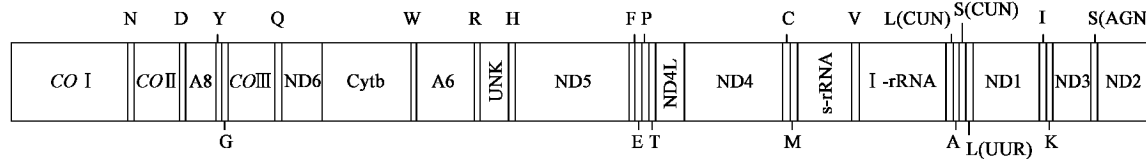
细胞色素 c 氧化酶(cytochrome c oxidase)为呼吸链复合酶体IV, 共有 13 个亚基, 是线粒体电子传递链末端的酶体<sup>[8]</sup>。其主要功能是将电子从细胞色素 c 传递给 O<sub>2</sub>分子, 直接将氧分子还原成水, 同时起生化抗氧第一道防线的作用<sup>[9]</sup>。

NADH 脱氢酶(NADH dehydrogenase)即呼吸链复合酶体 I, 又称 NADH-CoQ 还原酶复合酶体。NADH 脱氢酶可抑制细胞内活性氧分子(ROS, reactive oxygen species)过量生成<sup>[10~12]</sup>。NADH 脱氢酶亚基的上调表达, 起到应对外源污染氧化胁迫的抗氧化作用, 以减轻细胞氧化损伤<sup>[13]</sup>。

线粒体 ATP 合酶是线粒体产生 ATP 的关键酶,

其表达水平与线粒体的能量代谢功能直接相关。本研究发现的 B[a]P 诱导线粒体编码的 ATP 合酶亚基转录水平的上调, 是线粒体呼吸率上调的表征。Shertzer 等发现<sup>[5]</sup>, TCDD 使线粒体琥珀酸氧化酶和细胞色素 c 氧化酶的活性升高, 而辅酶 Q 显著下降, 加快了呼吸链复合物 III(又称 CoQH<sub>2</sub>-细胞色素 c 还原酶复合物)的氧化还原循环, 使细胞内的呼吸率提高, 细胞内的活性氧含量随之增高, 但细胞内 ATP 含量下降, ATP 合成酶的功能出现障碍。由此可见, B[a]P 诱导 ATP 合成酶上调表达不仅增加了细胞内氧化胁迫, 也刺激相应的抗氧化酶表达和活性的提高。

## 2.5 线粒体编码基因上调表达的影响因素分析



*CO I ~ CO III* 分别表示细胞素 c 氧化酶亚基 I ~ III, A6 和 A8 表示 ATP 合酶亚基 6 和 8, ND1 ~ 6 和 ND4 L 分别表示 NADH 脱氢酶亚基 1 ~ 6 和亚基 4 L, Cytb 表示细胞色素 b, UNK 表示功能未知的结构域, 其余 N、D、Y、G、Q、W、R、H、F、P、T、C、M、V、L、S、A、L、I、K、S 等单个大写字符为氨基酸缩写, 对应相应的 tRNA

图 8 蚯蚓线粒体基因组结构示意<sup>[7]</sup>

Fig. 8 Mitochondrial genome of the common earthworm, *Lumbucus terrestris*

活性氧分子(reactive oxygen species, ROS)可使哺乳动物细胞浆中转录因子 NF-κB 的无活性形式(由 NF-κB 二聚体和一个抑制亚基 IκB 组成)释放出有活性的 NF-κB 二聚体进入核内, 与位于受 NF-κB 调控的基因上游增强子结合, 使该基因转录增强。涉及的基因包括引起炎症反应基因、免疫细胞调节基因、分化基因等。因此, ROS 又被称为“逆向调节”的第二信使<sup>[15~20]</sup>。

从前面的分析可以看出, 低浓度 B[a]P 诱导上调了线粒体 DNA 编码基因的转录表达, 其中 NADH 脱氢酶亚基 1、细胞色素 c 氧化酶亚基 I ~ III、ATP 合酶亚基 6 均为呼吸链重要的酶, 这些酶的上调表达提高了线粒体呼吸率并导致细胞内活性氧的增加, 而活性氧的增加导致线粒体 COX 亚基和 ATP 合成酶亚基表达的增强<sup>[21~23]</sup>。

人类多种疾病与线粒体基因表达异常相关<sup>[24~27]</sup>。同样, 污染胁迫引起蚯蚓线粒体编码基因表达的异常, 对其正常的生理功能产生不良的影响, 并最终可能对个体生存乃至生态系统产生影响。从本研究中对上调基因的 EST 数据库比对结果可知,

5 个线粒体编码的多肽亚基中有 4 个在铜、镉、荧蒽和阿特拉津诱导下均有异常表达, 可见 mtDNA 编码基因表达的异常对外源污染物氧化胁迫具有广谱标记, 可作为污染生态毒理监测和生态风险评价的指标。

## 3 结论

土壤低剂量 B[a]P 诱导条件下, 蚯蚓线粒体编码 5 个基因为上调表达, 它们分别为细胞色素 c 亚基 I ~ III、NADH 脱氢酶亚基 1、ATP 合酶亚基 6 多肽基因。由于这 5 个基因是线粒体呼吸链酶复合体的重要组成部分, 可见土壤低剂量 B[a]P 污染对蚯蚓细胞线粒体呼吸产生了较大冲击。一方面, 提高了线粒体呼吸效率和 ATP 产生量; 另一方面, 增加了细胞活性氧分子含量及细胞氧化损伤。土壤中苯并[a]芘污染改变了蚯蚓线粒体基因组的表达水平, 线粒体基因组表达异常是多环芳烃污染胁迫的重要分子生物标记物。但与线粒体呼吸链酶亚基协同转录机制所不同的是, 本研究在对苯并[a]芘诱导的 312 个上调克隆测序结果中, 仅发现线粒体编码的呼吸

链酶亚基,却未发现细胞核编码的亚基及相关的呼吸链酶亚基转录因子,表明很可能存在其他调节线呼吸链酶亚基表达的机制,才使得线粒体编码的呼吸链酶亚基单独上调表达。此外,将本实验结果与NCBI网站EST数据库的数据检索分析比对,发现5个上调表达基因中有4个对其他污染物(铜、镉、阿特拉津)胁迫也具有响应,可见这些mtDNA编码基因表达异常具有广谱分子标记物特征,可将其作为土壤外源污染物生态毒性诊断的敏感生物标记物。

### 参考文献:

- [1] 吴庆龙,孔志明,陈开宁.太湖主要入出湖河道非挥发性有机提取物致突变性分析[J].海洋与湖沼,1998,29(5): 514-519.
- [2] 董玉瑛,冯霄.持久性有机污染物分析和处理技术研究进展[J].环境污染治理技术与设备,2003,6: 49-55.
- [3] 张薇,宋玉芳,孙铁珩.多环芳烃菲污染土壤的蚯蚓细胞色素P450生物标记诊断[J].毒理学杂志,2005,19(增刊): 311-312.
- [4] Spurgeon D J, Weeks J M, Cornelius A M, et al. A summary of eleven years progress in earthworm Ecotoxicology[J]. Pedobiologia, 2003, 47: 588-606.
- [5] Shertz H G, Center M B, Shen D X, et al. TCDD decreases ATP levels and increases reactive oxygen production through changes in mitochondrial FOF1-ATP synthase and ubiquinone[J]. Toxicology and Applied Pharmacology, 2006, 15(3):367-374.
- [6] Song Y F, Jing X, Fleischmann S, et al. Comparative study of extraction methods for the determination of PAHs from contaminated soils and sediments[J]. Chemosphere, 2002, 48:993-1001.
- [7] Boore J L, Brown W M. Complete Sequence of the Mitochondrial DNA of the Annelid Worm *Lumbricus terrestris*[J]. Genetics, 1995, 141: 305-319.
- [8] Ongwijitwat S, Wong-Riley M T. Is nuclear respiratory factor 2 a master transcriptional coordinator for all ten nuclear-encoded cytochrome c oxidase subunits in neurons [J]. Gene, 2005, 360: 65-77.
- [9] Pridgeon J W, Liu N N. Overexpression of the cytochrome c oxidase subunit I gene associated with a pyrethroid resistant strain of German cockroaches, *Blattella germanica* (L.) [J]. Insect Biochemistry and Molecular Biology, 2003, 33(10): 1043-1048.
- [10] Seo B B, Marella M, Yagi T, et al. The single subunit NADH dehydrogenase reduces generation of reactive oxygen species from complex I[J]. FEBS Letters, 2006, 580: 6105-6108.
- [11] Verkaart S, Koopman W J H, Sjenet E, et al. Superoxide production is inversely related to complex I activity in inherited complex I deficiency [J]. Biochimica et Biophysica Acta, 2007, 1772: 373-381.
- [12] Merlo-Pich M, Raule N, Catani L, et al. Increased transcription of mitochondrial genes for Complex I in human platelets during ageing [J]. Biochimica et Biophysica Acta, 2005, 1723: 302-308.
- [13] Park J S, Li Y F, Bai Y. Yeast NDI1 improves oxidative phosphorylation capacity and increases protection against oxidative stress and cell death in cells carrying a Leber's hereditary optic neuropathy mutation [J]. Biochimica et Biophysica Acta, 2007, doi: 10.1016/j.bbadi.2007.01.009.
- [14] Reyes A, Mezzina M, Gadaleta G. Human mitochondrial transcription factor A (mtTFA): gene structure and characterization of related pseudogenes[J]. Gene, 2002, 291: 223-232.
- [15] Scarpulla R C. Transcriptional activators and coactivators in the nuclear control of mitochondrial function in mammalian cells [J]. Gene, 2002, 286: 81-89.
- [16] Wu Z, Puigserver P, Andersson U, et al. Mechanisms Controlling Mitochondrial Biogenesis and Respiration through the Thermogenic Coactivator PGC-1[J]. Cell, 1999, 98: 115-124.
- [17] Kain K H, Popov V L, Herzog N K. Alterations in mitochondria and mtTFA in response to LPS-induced differentiation of B-cells [J]. Biochimica et Biophysica Acta, 2000, 1494: 91-103.
- [18] McCulloch V, Shadel G S, Shadel G S A. Human mitochondrial transcription factor is related to RNA adenine methyltransferases and binds S-adenosylmethionine[J]. Molecular and Cellular Biology, 2002, 22: 1116-1125.
- [19] Kepley C L, Lauer F T, Oliver J M, et al. Environmental polycyclic aromatic hydrocarbons, benzo(a) pyrene (BaP) and BaP-quinones enhance IgE-mediated histamine release and IL-4 production in human basophils [J]. Clinical Immunology, 2003, 107: 10-19.
- [20] Perez-de-Arce K, Fonseca R, Leighton F. Reactive oxygen species mediates homocysteine-induced mitochondrial biogenesis in human endothelial cells: Modulation by antioxidants [J]. Biochemical and Biophysical Research Communications, 2005, 338: 1103-1109.
- [21] Lee H C, Wei Y H. Mitochondrial biogenesis and mitochondrial DNA maintenance of mammalian cells under oxidative stress [J]. The International Journal of Biochemistry & Cell Biology, 2005, 37: 822-834.
- [22] Noack H, Bednarek T, Heidler J, et al. TFAM-dependent and independent dynamics of mtDNA levels in C2C12 myoblasts caused by redox stress [J]. Biochimica et Biophysica Acta, 2006, 1760: 141-150.
- [23] Garesse R, Vallejo C G. Animal mitochondrial biogenesis and function: a regulatory cross-talk between two genomes[J]. Gene, 2001, 263: 1-16.
- [24] 蔡明春,柳君泽.动物线粒体内的蛋白翻译[J].第四军医大学学报,2001, 22: 53-55.
- [25] 陆松敏. mtDNA与缺血缺氧性细胞损伤及疾病的关系[J].中国病理生理杂志, 2001, 17: 1104-1105.
- [26] 时多,王璐,周运恒,等.线粒体基因表达的调控及其与某些疾病的关系[J].生命的化学, 2006, 26(3): 250-252.
- [27] 李建明,周红,蔡黔,等.过氧化氢对肠上皮细胞线粒体编码基因 mRNA 的影响[J].第三军医大学学报, 2002, 24: 267-270.